

ИССЛЕДОВАНИЕ СЕТЧАТЫХ ЭКРАНОВ В ДИАПАЗОНЕ МЕТРОВЫХ ВОЛН

Н. В. Максименко, А. Я. Северинский

Харьков

В практике борьбы с индустриальными радиопомехами и защиты человека от электромагнитного облучения широко применяются экранирующие устройства из металлической сетки. Использование сетки обусловлено тем обстоятельством, что она обеспечивает хороший визуальный контроль за работающим оборудованием в цехе или лаборатории и упрощает организацию системы вентиляции, освещения и др.

Несмотря на имеющиеся работы [1, 3] об электромагнитных экранах, расчет экранирующих устройств из металлической сетки, работающих в волновом режиме и расположенных вблизи источников поля (электрического или магнитного диполей), в литера-

туре освещен недостаточно. В связи с этим поставлена задача исследования указанных экранов в диапазоне метровых волн.

1. Проницаемость сферической сетки для поля магнитного диполя. Рассмотрим случай, когда источником поля является магнитный диполь. На рис. 1 показано расположение сферической сетки и магнитного диполя.

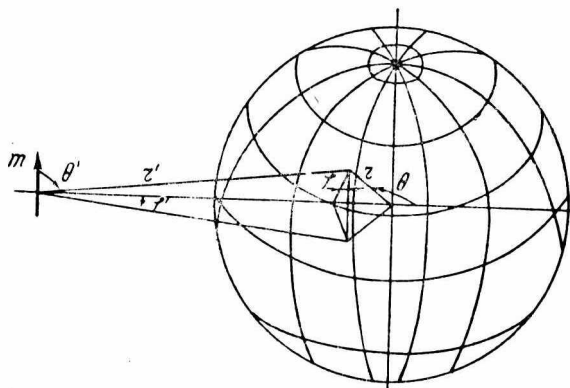


Рис. 1. Сферическая сетка и магнитный диполь.

Указанный диполь ориентирован таким образом, чтобы максимум излучения по тангенциальным компонентам поля приходился в направлении центра сетки. Поле внутри сетки находим как сумму поля диполя в свободном пространстве и вторичного поля, вызванного током в проводах сферической сетки, индуцированным полем диполя. Коэффициенты в решениях уравнений поля в сферических координатах определим при помощи граничных условий на поверхности сетки из проводов [1]. Будем считать выполненным соотношение $b \ll R$, где R — радиус сферы; b — длина стороны ячейки сферической сетки и соотношение $r_0 \ll b$, где r_0 — радиус проводов сетки.

Чтобы упростить процесс нахождения коэффициентов в решениях уравнений поля, раскладываем сначала поле диполя по собственным типам колебаний сферы, используя условия ортогональности.

Коэффициенты разложения стороннего поля по сферическим волнам находим из следующих формул [2]:

$$a_{nm} = \frac{\int_0^\pi \int_0^{2\pi} (\bar{E}_{ct}; \bar{m}_{mn}) \sin \theta d\varphi d\theta}{\int_0^\pi \int_0^{2\pi} |\bar{m}_{mn}|^2 \sin \theta d\varphi d\theta}; \quad (1)$$

$$b_{nm} = \frac{\int_0^\pi \int_0^{2\pi} (\bar{E}_{\text{ст}}; \bar{n}_{mn}) \sin \theta d\varphi d\theta}{\int_0^\pi \int_0^{2\pi} |\bar{n}_{mn}|^2 \sin \theta d\varphi d\theta}, \quad (2)$$

где $\bar{E}_{\text{ст}}$ — стороннее поле; \bar{m}_{mn} — поле TE_{mn} -сферической волны; \bar{n}_{mn} — поле TH_{mn} -сферической волны.

Уравнения для TE - и TH -сферических волн следующие:

$$\begin{aligned} \bar{m}_{mn} = & \mp \frac{m}{\sin \theta} z_n(kr) P_n^m(\cos \theta) \frac{\sin m\varphi \bar{r}}{\cos} - \\ & - z_n(kr) \left\{ \frac{\partial}{\partial \theta} [P_n^m(\cos \theta)] \right\} \frac{\cos m\varphi \bar{r}}{\sin}; \end{aligned} \quad (3)$$

$$\begin{aligned} \bar{n}_{mn} = & \frac{n(n+1)}{kr} z_n(kr) P_n^m(\cos \theta) \frac{\cos m\varphi \bar{r}}{\sin} + \\ & + \frac{1}{kr} \left\{ \frac{\partial}{\partial r} [r z_n(kr)] \right\} \left\{ \frac{\partial}{\partial \theta} [P_n^m(\cos \theta)] \right\} \frac{\cos m\varphi \bar{r}}{\sin} \mp \\ & \mp \frac{m}{kr \sin \theta} \left\{ \frac{\partial}{\partial r} [r z_n(kr)] \right\} P_n^m(\cos \theta) \frac{\sin m\varphi \bar{r}}{\cos}, \end{aligned} \quad (4)$$

где $m = 0, 1, 2, \dots$; $n = 0, 1, 2, \dots$;

$$z_n(kr) = \sqrt{\frac{\pi}{2kr}} Z_{n+\frac{1}{2}}(kr), \quad (5)$$

где

$$Z_{n+\frac{1}{2}}(kr) = B_n I_{n+\frac{1}{2}}(kr) + A_n H_{n+\frac{1}{2}}^{(2)}(kr).$$

Здесь $I_{n+\frac{1}{2}}$ — функция Бесселя; $H_{n+\frac{1}{2}}$ — функция Ханкеля второго рода; P_n^m — присоединенный полином Лежандра; $\bar{\theta}$, \bar{r} , $\bar{\varphi}$ — орты соответствующих осей координат.

В выбранной системе координат (рис. 1) электрическое поле магнитного диполя [2]

$$E_{\varphi'} = \frac{k^2}{4\pi} \sqrt{\frac{\mu}{\epsilon}} \left[\frac{1}{2r'} + \frac{i}{k(r')^2} \right] \sin \theta' |\bar{m}| e^{-i(\omega t - kr')}. \quad (6)$$

Однако, чтобы определить a_{nm} и b_{nm} , необходимо выразить это поле в системе координат r, θ, φ .

Пользуясь уравнениями аналитической геометрии, выражаем координаты r', θ', φ' через r, θ, φ :

$$r' = N \sqrt{1 + a^2 + 2a \cos \theta}; \quad (7)$$

$$\cos \theta' = \frac{a \sin \theta \cos \varphi}{\sqrt{1 + a^2 + 2a \cos \theta}}; \quad (8)$$

$$\sin \varphi' = \frac{a \sin \theta \sin \varphi}{\sqrt{1 \mp a^2 (1 - \sin^2 \theta \cos^2 \varphi) \mp 2a \cos \theta}}; \quad (9)$$

где $a = \frac{r}{N}$. (10)

В числителях (1) и (2) под знаками интегралов стоят скалярные произведения $\vec{E}_{\text{ст}}$ и векторов сферических волн. Для нахождения этого произведения спроектируем векторы сферических волн на вектор $\vec{E}_{\text{ст}}$ и перемножим $E_{\text{ст}}$ и проекции этих векторов соответственно.

Подставляя (7) и (8) в (6), затем (6) в (1) и (2), а также учитывая соотношения [2]

$$\frac{\partial P_n^1(\cos \theta)}{\partial \theta} = n(n+1)P_n(\cos \theta) - (\text{ctg } \theta)P_n^1(\cos \theta); \quad (11)$$

$$(\cos \theta)P_n(\cos \theta) = \frac{(n \mp 1)P_{n+1}(\cos \theta) \mp nP_{n-1}(\cos \theta)}{2n \mp 1}; \quad (12)$$

$$(\sin \theta)P_n^1(\cos \theta) = \frac{n(n \mp 1)P_{n-1}(\cos \theta) - n(n \mp 1)P_{n+1}(\cos \theta)}{2n \mp 1}; \quad (13)$$

$$j_n(kr) = \frac{i^{-n}}{2} \int_0^\pi e^{ikr \cos \theta} P_n(\cos \theta) \sin \theta d\theta \quad (14)$$

при условии

$$a^2 \ll 1, \quad (15)$$

получаем

$$m = 1, \quad (16)$$

$$n \geq 1. \quad (17)$$

Зависимость поля волны n_{1n} от φ берется по нижней строке в (4), а волны m_{1n} — по нижней строке в (3).

$$\begin{aligned} I_1 = & -\frac{k^2 |\bar{m}|}{2N} \sqrt{\frac{\mu}{\epsilon}} e^{-i(\omega t - kN)z_n} \left\{ \left(1 + \frac{i}{kN} \right) \left[n(n+1) i^n j_n(kr) + \right. \right. \\ & + a \left(\frac{n(n \mp 1)}{2n \mp 1} i^{n-1} j_{n-1}(kr) - \frac{n(n \mp 1)}{2n \mp 1} i^{n+1} j_{n+1}(kr) + \right. \\ & \left. \left. + \frac{n(n \mp 1)^2}{2n \mp 1} i^{n+1} j_{n+1}(kr) + \frac{n^2(n \mp 1)}{2n \mp 1} i^{n-1} j_{n-1}(kr) \right] \right\} - \\ & - a \left(2 + \frac{3i}{kN} \right) \left[\frac{n(n \mp 1)^2}{2n \mp 1} i^{n+1} j_{n+1}(kr) + \frac{n^2(n \mp 1)}{2n \mp 1} i^{n-1} j_{n-1}(kr) + \right. \\ & + a \left(\frac{n^2(n \mp 1)}{4n^2 - 1} i^n j_n(kr) + \frac{n(n^2 - 1)}{(2n \mp 1)(2n - 3)} i^{n-2} j_{n-2}(kr) - \right. \\ & - \frac{n(n+1)(n \mp 2)}{(2n \mp 1)(2n \mp 3)} i^{n+2} j_{n+2}(kr) - \frac{n(n \mp 1)^2}{(2n \mp 1)(2n \mp 3)} i^n j_n(kr) + \\ & \left. + \frac{n(n \mp 1)^3(n \mp 2)}{(2n \mp 1)(2n \mp 3)} i^{n+2} j_{n+2}(kr) + \frac{n(n \mp 1)^3}{(2n \mp 1)(2n \mp 3)} i^n j_n(kr) + \right. \\ & \left. \left. + \frac{n^3(n \mp 1)}{4n^2 - 1} i^n j_n(kr) + \frac{n^2(n^2 - 1)}{4n^2 - 1} i^{n-2} j_{n-2}(kr) \right] \right\}; \quad (18) \end{aligned}$$

$$\begin{aligned}
I_2 = & \frac{k|\bar{m}|}{2rN} \sqrt{\frac{\mu}{\varepsilon}} e^{-i(\omega t - kN)} \left\{ \left(1 + \frac{i}{kN} \right) \left[z_n(kr) \frac{n^2(n+1)^2}{2n+1} \times \right. \right. \\
& \times (i^{n+1} j_{n+1}(kr) - i^{n-1} j_{n-1}(kr)) + \frac{\partial}{\partial r} [r z_n(kr)] \left\{ [n i^{n+1} j_{n+1}(kr) + \right. \\
& \left. \left. + (n+1) i^{n-1} j_{n-1}(kr)] \frac{n(n+1)}{2n+1} + a n(n+1) i^n j_n(kr) \right\} \right\} - \\
& - a \left(2 + \frac{3i}{kN} \right) \left[z_n(kr) \frac{n^2(n+1)^2}{2n+1} \left[\frac{n}{2n-1} i^n j_n(kr) + \frac{n-1}{2n-1} i^{n-2} j_{n-2}(kr) - \right. \right. \\
& \left. \left. - \frac{n+2}{2n+3} i^{n+2} j_{n+2}(kr) + \frac{n+1}{2n+3} i^n j_n(kr) \right] + \frac{\partial}{\partial r} [r z_n(kr)] \times \right. \\
& \times \left\{ \frac{n(n+1)}{2n+1} \left[\frac{n(n+2)}{2n+3} i^{n+2} j_{n+2}(kr) + \frac{n(n+1)}{2n+3} i^n j_n(kr) + \right. \right. \\
& \left. \left. + \frac{n(n+1)}{2n-1} i^n j_n(kr) + \frac{n^2-1}{2n-1} i^{n-2} j_{n-2}(kr) \right] + \right. \\
& \left. \left. + a n(n+1) \left[\frac{n+1}{2n+1} i^{n+1} j_{n+1}(kr) + \frac{n}{2n+1} i^{n-1} j_{n-1}(kr) \right] \right\} \right\}, \quad (19)
\end{aligned}$$

где I_1 и I_2 — числители в уравнениях (1) и (2) соответственно, а

$$j_n(kR) = \sqrt{\frac{\pi}{2kR}} I_{n+\frac{1}{2}}(kR).$$

Знаменатели в (1), (2) равны [2]:

$$\int_0^{\pi} \int_0^{2\pi} |\bar{m}_{1n}|^2 \sin \theta d\varphi d\theta = \frac{2\pi}{2n+1} n^2 (n+1)^2 [z_n(kr)]^2; \quad (20)$$

$$\begin{aligned}
\int_0^{\pi} \int_0^{2\pi} |\bar{n}_{1n}|^2 \sin \theta d\varphi d\theta = & \frac{2\pi}{(2n+1)^2} n^2 (n+1)^2 \{ (n+1) [z_{n-1}(kr)]^2 + \\
& + n [z_{n+1}(kr)]^2 \}. \quad (21)
\end{aligned}$$

Подставляя (18) и (20) в (1), а (19) и (21) в (2), получаем выражения для коэффициентов разложения $\bar{E}_{\text{ст}}$ по сферическим волнам.

Коэффициенты прохождения этих волн сквозь сферический сетчатый экран находим из граничных условий на поверхности сетки [1, 3]

$$\begin{aligned}
E_{\varphi}^I = E_{\varphi}^{II}; \quad E_{\theta}^I = E_{\theta}^{II}; \\
E_{\varphi\text{ст}} + E_{\varphi}^I = \frac{ib\rho}{\lambda} \left(\ln \frac{b}{2\pi r_0} \right) \left[(1+F) j_{\varphi} + \right. \\
\left. + \frac{1}{k^2(2+\chi)} \frac{\partial}{\partial l_{\varphi}} (\text{div } \vec{j} + \chi \text{div } \vec{j}_{\varphi}) \right]; \quad (22)
\end{aligned}$$

$$E_{0\text{ст}} + E_0^I = \frac{ib\rho}{\lambda} \left(\ln \frac{b}{2\pi r_0} \right) \left[(1 + F) j_0 + \frac{1}{k^2(2 + \chi)} \frac{\partial}{\partial l_0} (\operatorname{div} \bar{j} + \chi \operatorname{div} j_0) \right],$$

где E_φ^I ; E_φ^{II} ; E_0^I ; E_0^{II} — составляющие вторичного поля с внешней (I) и внутренней (II) сторон сетки; b — длина стороны квадрата ячейки сетки; ρ — волновое сопротивление среды, в которой происходит волновой процесс; λ — длина волны в среде;

$$F = \frac{(1 - i) \sqrt{\mu\epsilon}}{\left(\ln \frac{b}{2\pi r_0} \right) 2r_0 \sqrt{2\pi\omega\sigma}}$$

для сильного скинэффекта; μ — магнитная проницаемость материала сетки; σ — проводимость материала сетки;

$$\bar{j} = H_\varphi \bar{\theta} - H_\theta \bar{\varphi};$$

χ — коэффициент, характеризующий контакт в узлах сетки; для запаянной сетки $\chi = 0$;

$$k = \frac{2\pi}{\lambda};$$

$$\frac{\partial}{\partial l_0} \operatorname{div} j = \frac{1}{2} \frac{\partial}{\partial \theta} \operatorname{div} \bar{j}; \quad \operatorname{div} j_0 = \frac{1}{2 \sin \theta} \frac{\partial}{\partial \theta} (j_0 \sin \theta);$$

$$\frac{\partial}{\partial l_\varphi} \operatorname{div} j = \frac{1}{2 \sin \theta} \frac{\partial}{\partial \varphi} \operatorname{div} \bar{j}; \quad \operatorname{div} j_\varphi = \frac{1}{2 \sin \theta} \frac{\partial}{\partial \varphi} j_\varphi;$$

$$\operatorname{div} \bar{j} = \frac{1}{2 \sin \theta} \left[\frac{\partial}{\partial \theta} (j_0 \sin \theta) + \frac{\partial j_\varphi}{\partial \varphi} \right].$$

Для полей E^I и E^{II} соблюдаются условия излучения, поэтому в (3) и (4) для $E^I - B_n = 0$, а для $E^{II} - A_n = 0$.

Подставляя $\bar{E}_{\text{ст}}$, выраженное через суперпозицию сферических волн, в (22) и используя (3), получаем

а) для случая $\chi = 0$:

$$\frac{1}{B_n^{TE}} = \frac{b}{\lambda k} \left(\ln \frac{b}{2\pi r_0} \right) (1 + F) \frac{\partial}{\partial r} \left\{ \sqrt{kr} \left[\frac{I_{n+\frac{1}{2}}(kr)}{H_{n+\frac{1}{2}}^{(2)}(kr)} H_{n+\frac{1}{2}}^{(2)}(kr) - \right. \right. \\ \left. \left. - I_{n+\frac{1}{2}}(kr) \right] \right\} \Big|_{r=R} = \frac{\sqrt{kR} I_{n+\frac{1}{2}}(kR)}{a_n k R z_n(kR)}; \quad (23)$$

$$A_n^{TE} = B_n^{TE} \frac{I_{n+\frac{1}{2}}(kR)}{H_{n+\frac{1}{2}}^{(2)}(kR)}; \quad (24)$$

$$\frac{1}{B_n^{TH}} = \frac{-\frac{b}{\lambda k} \left(\ln \frac{b}{2\pi r_0} \right) (1 + F) \sqrt{kR} \left[1 - \frac{n(n+1)}{2k^2 R^2} \right]}{\frac{b_n}{k} \frac{\partial}{\partial r} [r z_n(kr)]|_{r=R}} \times$$

$$\times \left[\frac{\frac{\partial}{\partial r} \left[\sqrt{k r} I_{n+\frac{1}{2}}(kr) \right]}{\frac{\partial}{\partial r} \left[\sqrt{k r} H_{n+\frac{1}{2}}^{(2)}(kr) \right]} \right]_{r=R} \left[H_{n+\frac{1}{2}}^{(2)}(kR) - I_{n+\frac{1}{2}}(kR) \right] -$$

$$- \frac{\frac{1}{k^2} \frac{\partial}{\partial r} \left[\sqrt{k r} I_{n+\frac{1}{2}}(kr) \right]_{r=R}}{\frac{b_n}{k} \frac{\partial}{\partial r} [r z_n(kr)]|_{r=R}}; \quad (25)$$

$$A_n^{TH} = B_n^{TH} \frac{\frac{\partial}{\partial r} \left[\sqrt{k r} I_{n+\frac{1}{2}}(kr) \right]}{\frac{\partial}{\partial r} \left[\sqrt{k r} H_{n+\frac{1}{2}}^{(2)}(kr) \right]} \Big|_{r=R}; \quad (26)$$

б) для случая $\chi \neq 0$,

магнитные и электрические волны становятся связанными, а потому коэффициенты A_n и B_n определяются из системы уравнений с бесконечным числом неизвестных. Этот случай далее не рассматривается. Находим поле внутри сетки:

$$\bar{E}_{\text{внутр}} = \sum_{n=1}^{\infty} (a_n + B_n^{TE}) \bar{m}_{1n} + \sum_{n=1}^{\infty} (b_n + B_n^{TH}) \bar{n}_{1n}. \quad (27)$$

Коэффициент эффективности экранирования

$$K_3 = \frac{\sum_{n=1}^{\infty} (a_n \bar{m}_{1n} + b_n \bar{n}_{1n})}{\sum_{n=1}^{\infty} [(a_n + B_n^{TE}) \bar{m}_{1n} + (b_n + B_n^{TH}) \bar{n}_{1n}]} = \frac{\bar{E}_{\text{ст}}}{\bar{E}_{\text{внутр}}}. \quad (28)$$

В формулах (1), (2), (23) и (25) для внутреннего пространства в качестве функции z_n следует брать только функцию Бесселя, так как только она в этом пространстве отвечает условиям излучения.

2. Проницаемость сферической сетки для электрического диполя

Действуя как и в предыдущем случае, находим коэффициенты разложения a'_n и b'_n поля электрического диполя по сферическим волнам, а затем K_3 по (28), заменяя a_n и b_n на a'_n и b'_n соответственно.

Сравнивая магнитное поле электрического диполя [2]

$$H_{\varphi} = -\frac{\omega k}{4\pi} \left[\frac{1}{r'} + \frac{i}{k(r')^2} \right] (\sin \theta') |\bar{p}| e^{-i(\omega t - kr')}$$

с электрическим полем магнитного диполя (6), видим, что они отличаются только коэффициентом. Сравнивая электрические и магнитные поля сферических волн [2], находим, что уравнения (3) и (4) могут определять TH - и TE -волны применительно к магнитному полю, поэтому можно записать

$$a'_n = -\frac{1}{\mu} \frac{|\bar{p}|}{|m|} b_n; \quad b'_n = -\frac{1}{\mu} \frac{|\bar{p}|}{|m|} a_n.$$

Для проверки полученных результатов был измерен K_3 в центре сферы, результаты измерений сопоставлены с расчетом.

Расчетная формула для K_3 ($r = 0$) упрощается по сравнению с (28), так как при $r = 0$ существует только волна n_{11} . В этом случае путем несложных преобразований, учитывая рекуррентные соотношения для функций Бесселя, можно получить для больших K_3

$$K_3' = \frac{2j_1(kR) - kRj_2(kR)}{\frac{b}{\lambda} \left(\ln \frac{b}{2\pi r_0} \right) (1 \mp F) \left(kR - \frac{1}{kR} \right)} \times \left\{ \frac{[2j_1(kR) - kRj_2(kR)] [j_1(kR) - ij_{-1}(kR)]}{2j_1(kR) - kRj_2(kR) \mp ij_{-1}(kR) \mp ikRj_{-0}(kR)} - j_1(kR) \right\}^{-1} \quad (29)$$

в случае малых K_3' : $K_3 \approx 1$. Из (29) видно, что при $2j_1(kR) - kRj_2(kR) = 0$, что соответствует условиям резонансов волны $n_{11q} - K_3 = 1$. В случае $kR \ll 1$ легко показать, что

$$K_3 \rightarrow \frac{2}{3} \frac{2\pi R}{b(1 \mp F) \ln \frac{b}{2\pi r_0}}.$$

Это совпадает с ранее полученными результатами [4].

Расчет K_3' по (29) был проведен на ЭЦВМ (рис. 2). Установлено, что существует большой максимум K_3' перед первым резонансом ($K_3 = 1$); величина K_3' в максимуме может в сотни раз превышать среднее значение. В точке максимума $\pi D = \lambda$, что соответствует максимуму наведенного тока, а следовательно, максимуму K_3' .

Измерение K_3' было проведено для сетчатого куба с размерами $500 \times 500 \times 500$, $b = 20$, $r_0 = 0,5$. Материал сетки — сталь. Сравнение с расчетными данными проводилось методом замены кубического экрана равновеликим по объему сферическим, относительная магнитная проницаемость стали принималась равной 100 (выражение (29) слабо зависит от μ).

Результаты эксперимента и расчетные данные помещены на рис. 3. Из рисунка видно, что результаты эксперимента хорошо согласуются с расчетными данными. Смещение минимума K_e объясняется различием резонансных частот равновеликих куба и шара, а также влиянием экрана измерительной антенны.

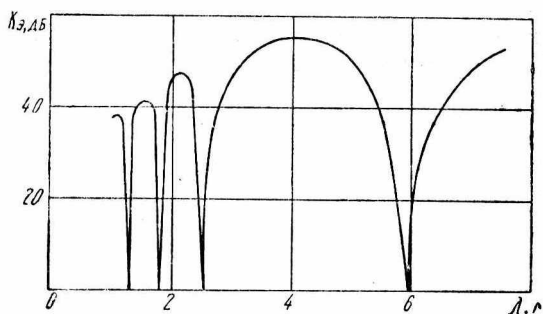


Рис. 2. Зависимость коэффициента экранирования от длины волны ($R = 2,6$ м; $b = 20$ мм; $r_0 = 0,5$ мм, материал сетки — сталь).

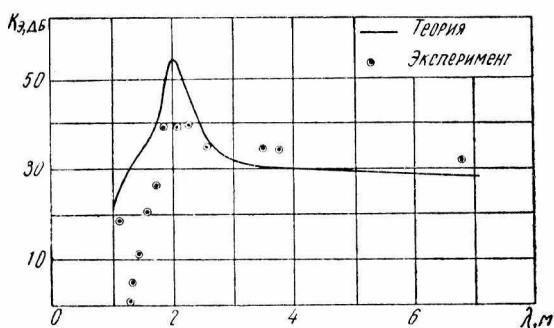


Рис. 3. Сравнение расчетных и экспериментальных данных.

Расчет эффективности сетчатого сферического экрана показал, что в области квазистационарного поля коэффициент экранирования с частотой почти не меняется и пропорционален радиусу экрана [4], в волновой области при некоторых (резонансных) частотах отсутствует экранирующий эффект, но в так называемом электромагнитном режиме перед первым минимумом K_e существует очень большой максимум K_e при $\pi D = \lambda$, что объясняется максимумом наведенного тока вследствие резонансного уменьшения импеданса сетчатой поверхности. K_e слабо зависит от магнитной проницаемости и проводимости материала сетки, но сильно от размеров экрана и ячейки сетки.

ЛИТЕРАТУРА

1. М. И. Конторович. Об усредненных граничных условиях на поверхности сетки с квадратными ячейками. «Радиотехника и электроника», 1963, № 9.
 2. Д. Ж. А. Стреттон. Теория электромагнетизма. Гостехиздат, 1948.
 3. М. Н. Спирина. Применение приближенных граничных условий на сетчатых поверхностях для нахождения коэффициента отражения и проницаемости некоторых сетчатых экранов. Труды ЛПИ, вып. 255, 1965.
 4. М. И. Конторович. Об экранирующем действии замкнутых сеток. ЖТФ, т. 9, № 24, 1939.
-